

VELOCIZZAZIONE DELLA LINEA ROMA – PESCARA
RADDOPPIO FERROVIARIO
TRATTA MANOPPELLO - SCAFA
LOTTO 2

Progetto di fattibilità tecnico economica

Richiesta di integrazioni/chiarimenti del
Comitato Speciale
Consiglio Superiore lavori Pubblici

Registro ufficiale n. 0000022 del 03/01/2022

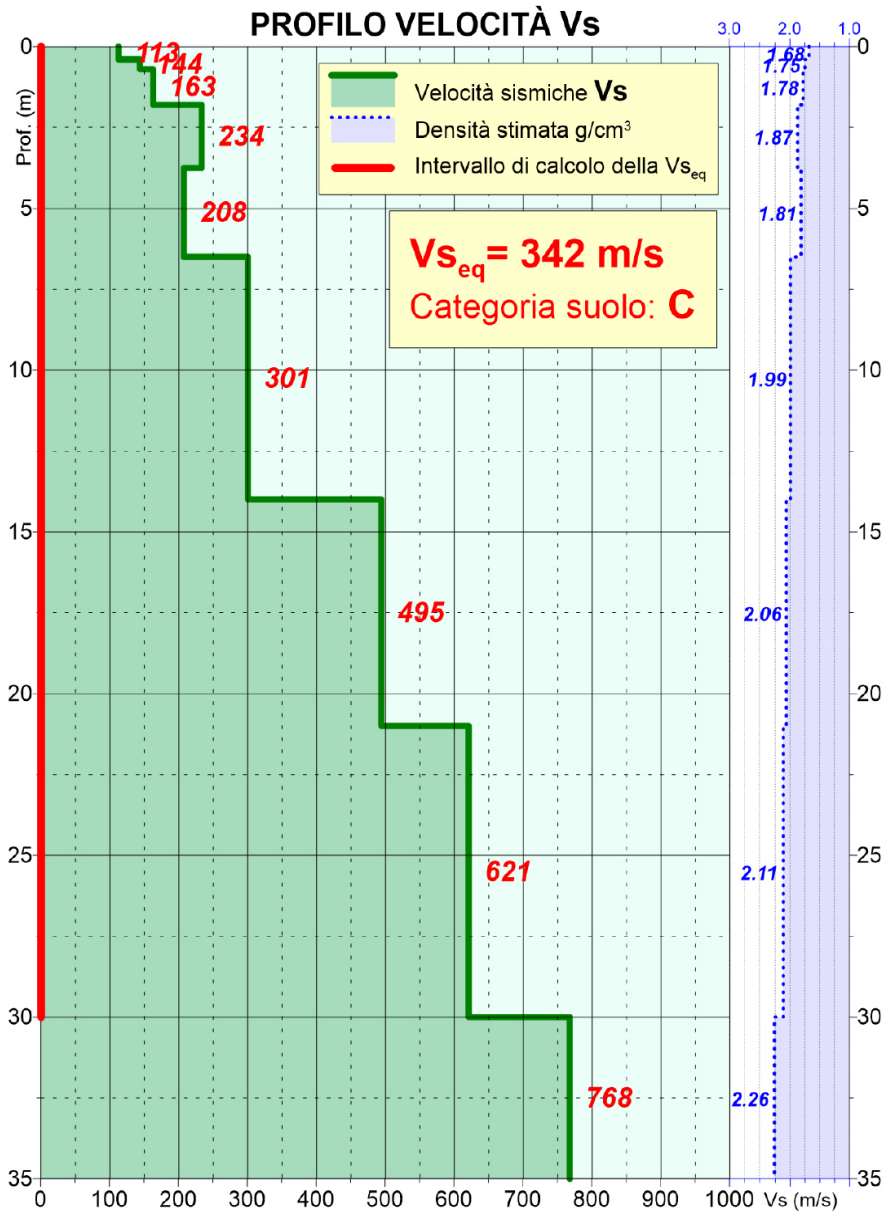
ANNESSE 6

RISCONTRO AL PUNTO 9 DELL'ALLEGATO A _ LOTTO 2

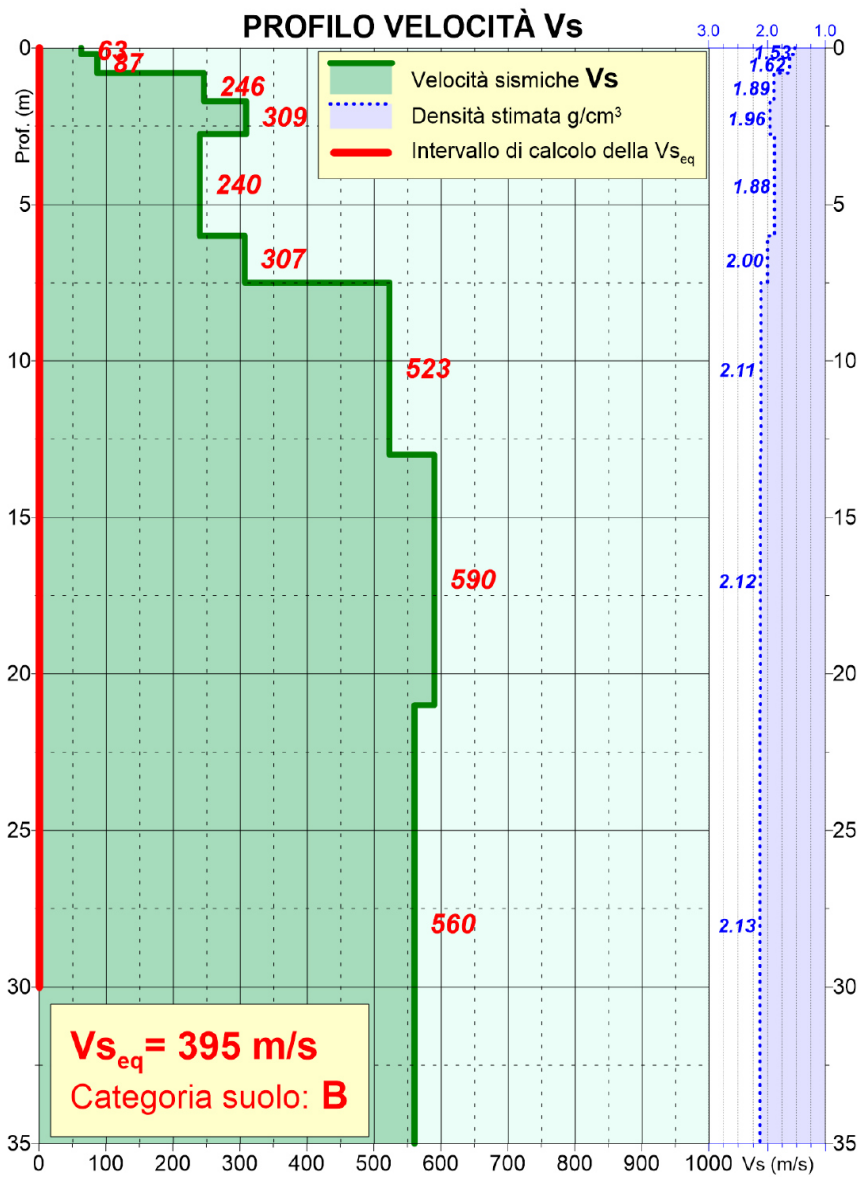
Pk fine WBS [m]	800	950	1068	1200	1371	2784	2900	3414	3856	3923	4166	4430	4798	4798	5653	5653	6440	6440	6638	6808	6944	6962	7413	7894								
Estensione [m]	800	150	118	132	171	1413	116	514	442	67	243	264	368	-	855	-	786	-	198	170	136	18	451	481								
WBS	TR21 RI21 RI22	VI24	RI23	VI26	SL21	VI21	SL22	RI24 RI25	SL28	VI22	RI26	Banchine Alanno e SL24	TR22 RI27	SL26	RI27 TR23	IV21	TR24 RI28	SL25	RI28	VI23	RI29	VI25	RI30 TR25	Banchine Scafa								
Sondaggi	S26		S24	Sv-i-1	S18	S13	156	S12 bis	S11	S10	S7	S6	S4	S2	S1																	
	S25																									S20	157	S9	S6 bis	S3	S2	S1
	S26																									S19	S12			S3a		
	S27																									Sv-i-2						
	S28																									Sv-i-3						
	S29																									Sv-i-4						
	S30																									Sv-i-5						
CPT	CPT A	CPT B	CPT-i-9	CPT-v-i-10	CPT-v-i-1	CPT J	CPT-i-4	CPT N	CPT O	CPT-i-5	CPT-R	CPT-i-7	CPT U																			
		CPT Bbis			CPT-v-i-2						CPT-i-6																					
Geofisica	SM_MASW13 Cat. C	SM_MASW12 Cat. C		SM_MASW11 Cat. B	SM_MASW09B Cat. B	SM_MASW08 Cat. B	SM_MASW07 Cat. B	SM_MASW06 Cat. C	SM_MASW05 Cat. C	SM_MASW03 Cat. B	SM_MASW04 Cat. C	SM_MASW02 Cat. B		SM_MASW01 Cat. C																		
	SM_MASW14 Cat. C			SM_MASW10 Cat. C																												
				SM_MASW09* Cat. C																												
				SM_DH-Sv-i-2-3-4-5 Cat. B			SM_DH-S12bis Cat. B						SM_DH-S4 Cat. B	SM_DH-S3 Cat. B																		
Indicazioni geologiche da sondaggio	passaggio alluvioni - substrato argilloso tra 16-20m (SM_S26 e SM_S25)	passaggio alluvioni - substrato argilloso A 16m (SM_S24)		passaggio alluvioni - substrato argilloso tra 16m - 19m (Sv-i-2-3-4-5)	passaggio alluvioni - substrato argilloso a 16 m (SM_S13)	passaggio alluvioni - substrato argilloso a 16 m (SM_S12-12bis)	passaggio alluvioni - substrato argilloso a 11 m (SM_S11)	passaggio alluvioni - substrato argilloso tra 9,5 e 18 m (SM_S10-S9)	passaggio alluvioni - substrato argilloso a 21 m (SM_S7)	passaggio alluvioni - substrato argilloso tra 21 m (SM_S6)	passaggio alluvioni - substrato argilloso tra 21 e 29 m (SM_S6-S4)	passaggio alluvioni - substrato argilloso tra 20 e 29 m (SM_S3-S2)		passaggio alluvioni - substrato argilloso a 30 m (SM_S1)																		
Indicazioni geologiche da geofisica	Velocità Vs associabile a passaggio alluvioni-substrato a 17m (MASW_13-14)	Velocità Vs associabile a passaggio alluvioni-substrato 16m (MASW_12)		Velocità Vs associabile a passaggio alluvioni-substrato 16m (MASW_11)	Velocità Vs associabile a passaggio alluvioni-substrato 16m (MASW_09-08*)	Velocità Vs associabile a passaggio alluvioni-substrato 15m (MASW_07)	Velocità Vs associabile a passaggio alluvioni-substrato 9m (MASW_06-07)	Velocità Vs associabile a passaggio alluvioni-substrato 20m (MASW_03)	Velocità Vs associabile a passaggio alluvioni-substrato 24m (MASW_04)	Velocità Vs associabile a passaggio alluvioni-substrato 24m (MASW_02)		Velocità Vs associabile a passaggio alluvioni-substrato 30 (MASW_01)																				

*fuori asse

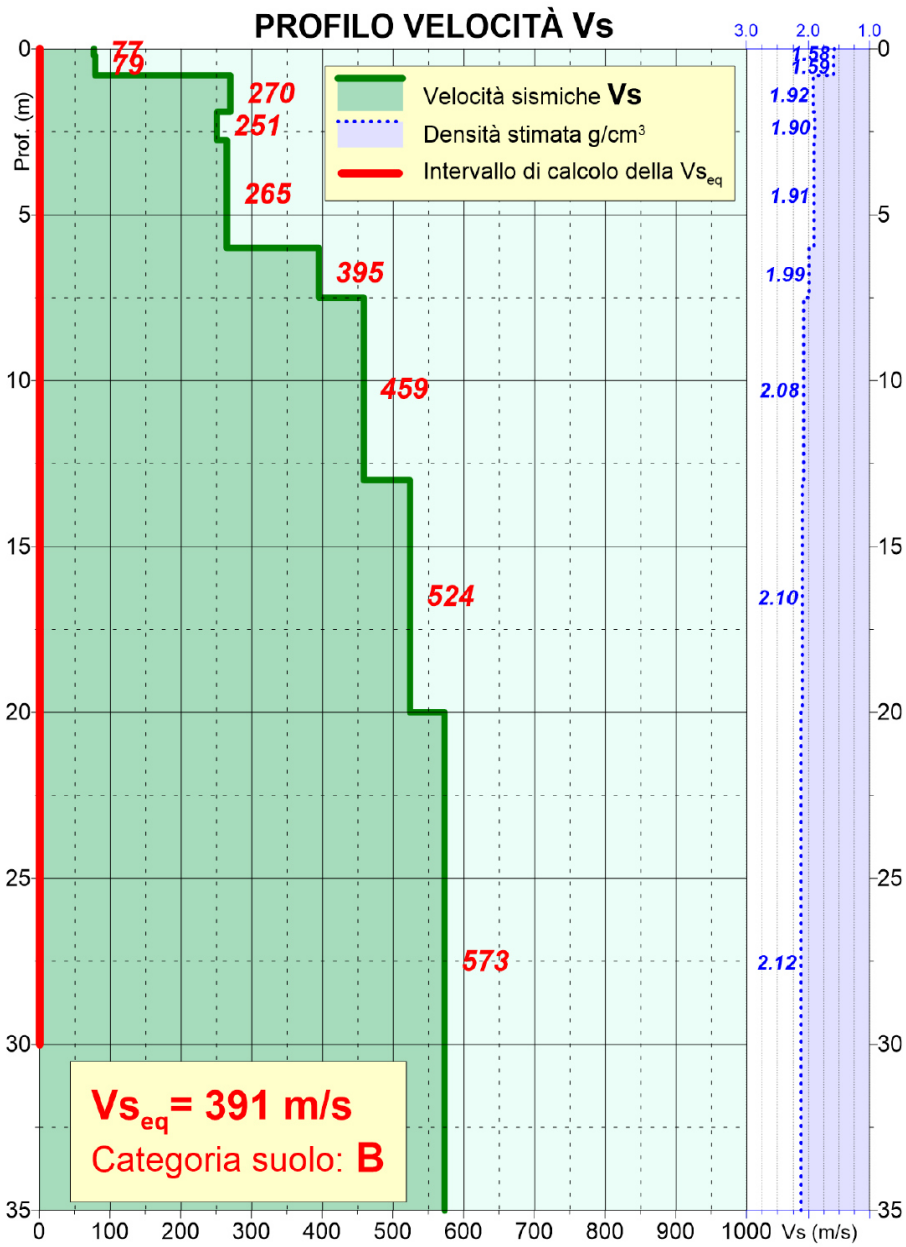
Riferimento cartografico "planimetria ubicazione indagini IA9700R69G5GE0005001B"



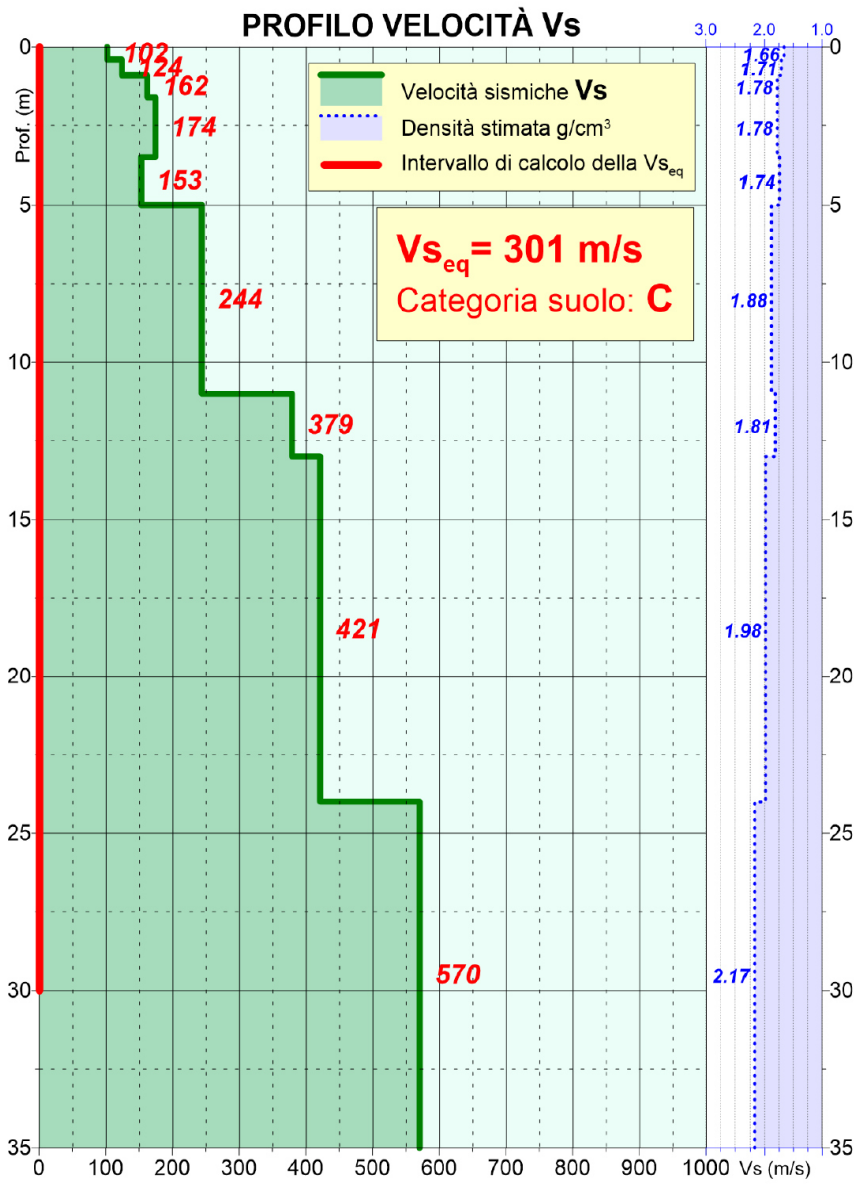
SM-MASW-01



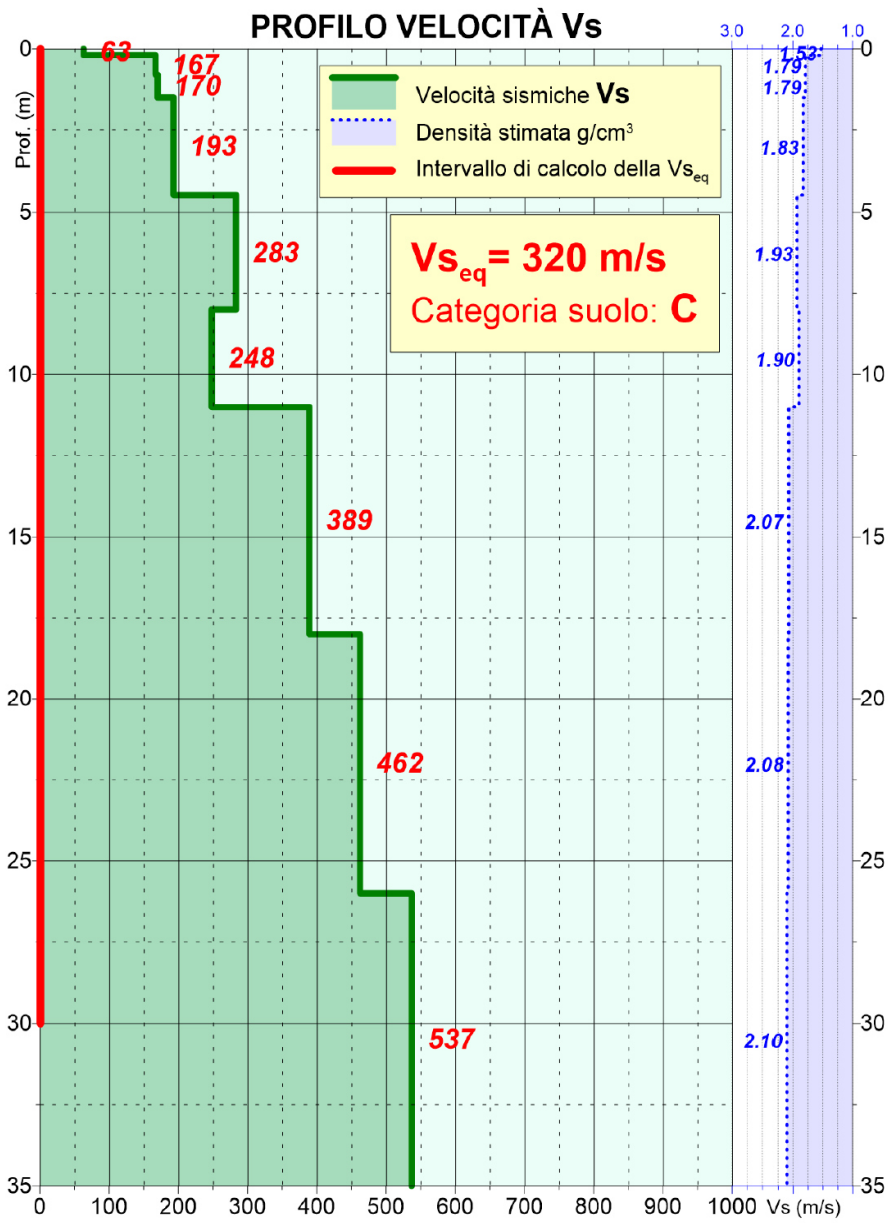
SM-MASW-02



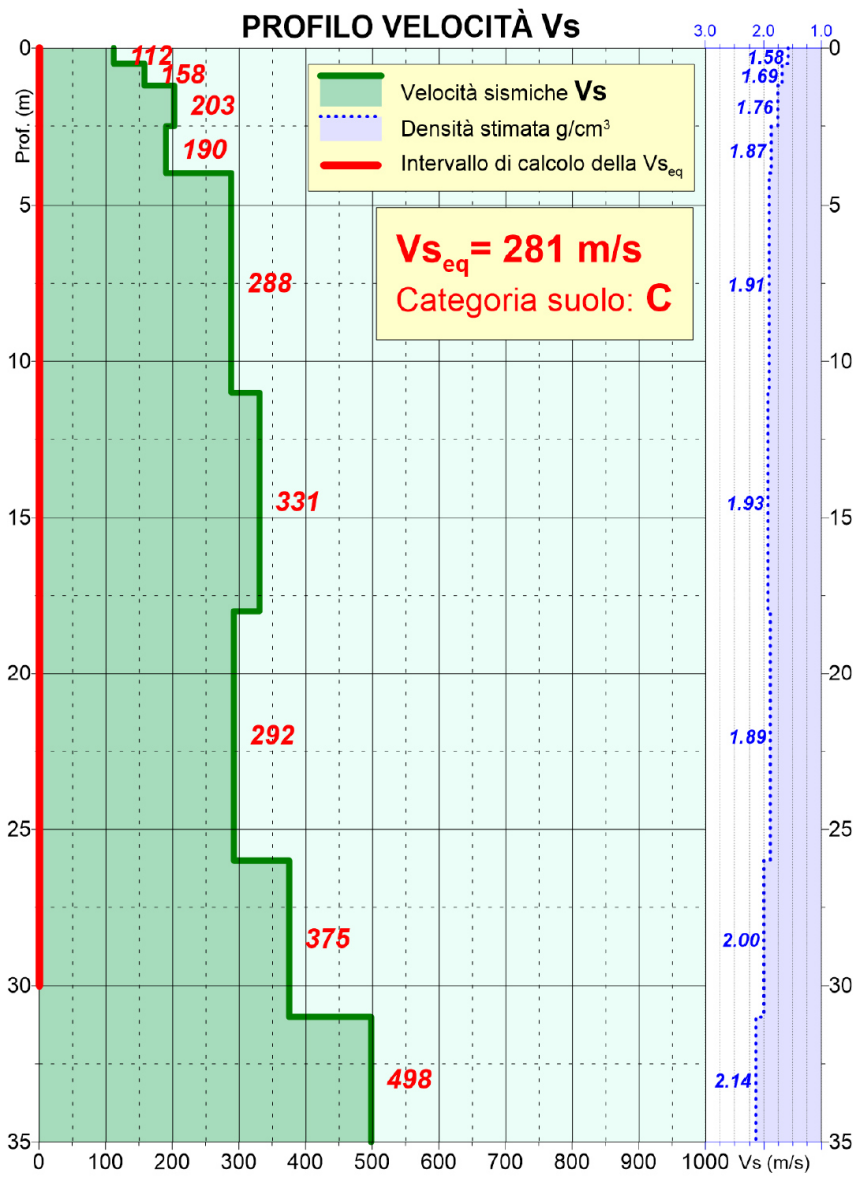
SM-MASW-03



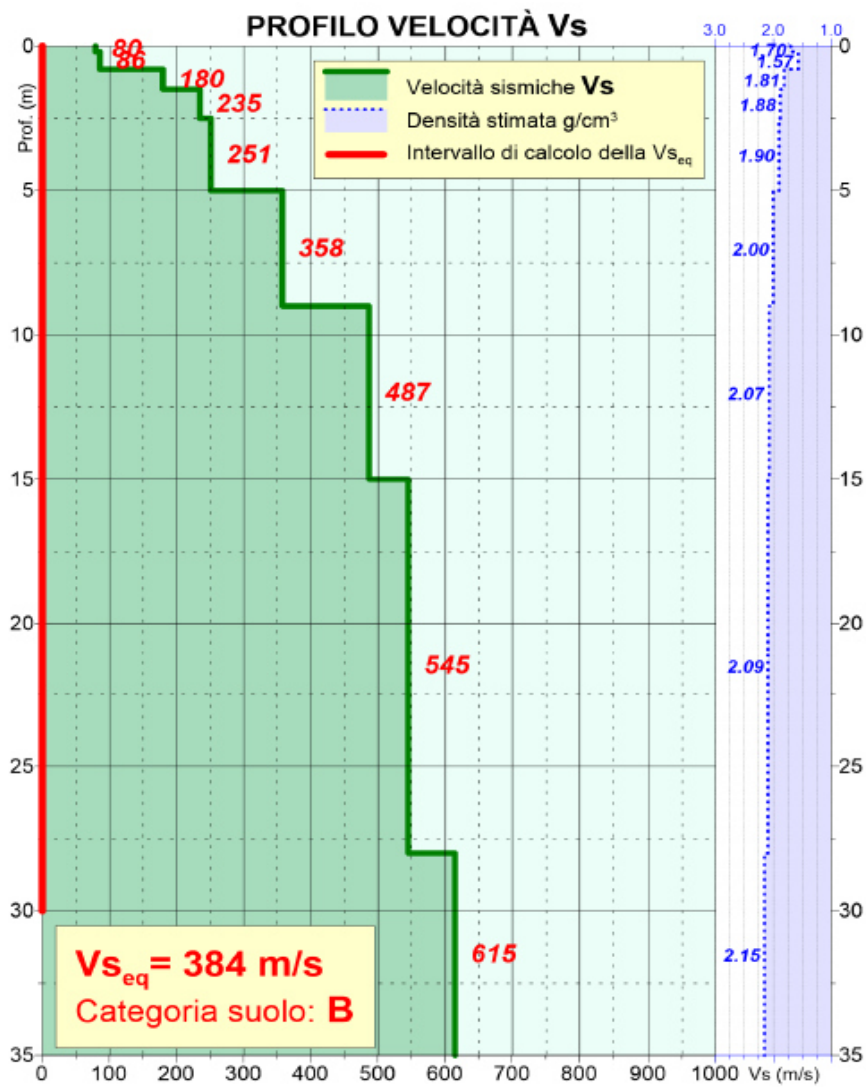
SM-MASW-04



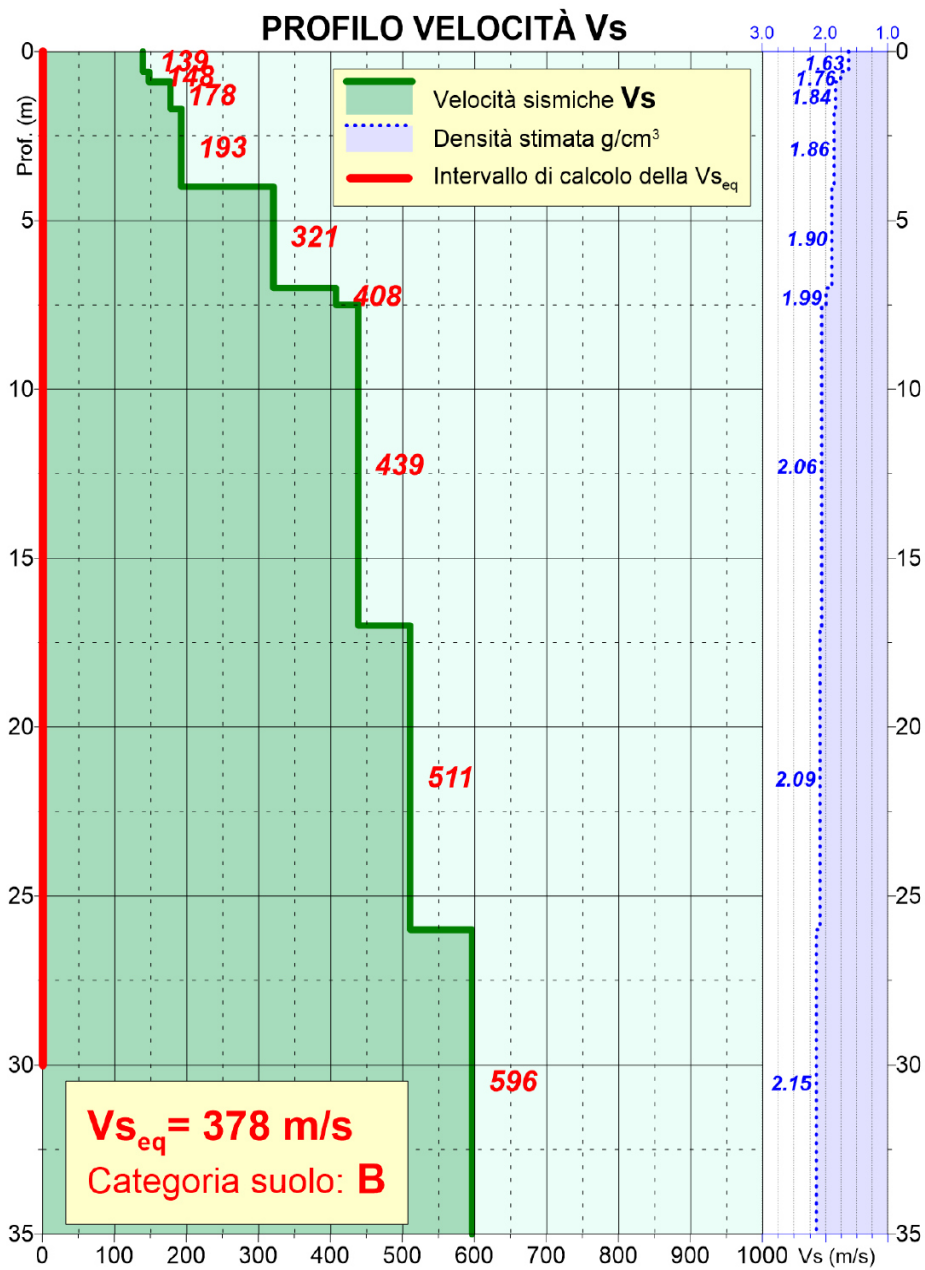
SM-MASW-05



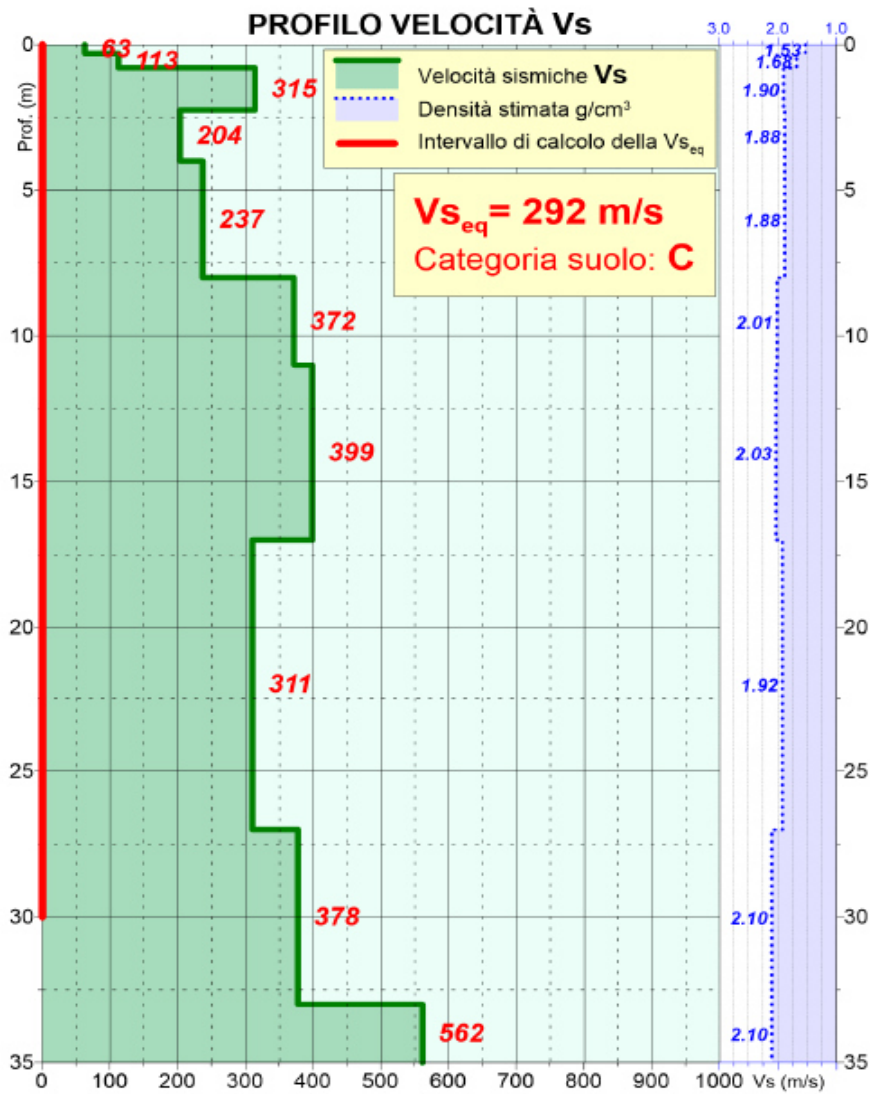
SM-MASW-06



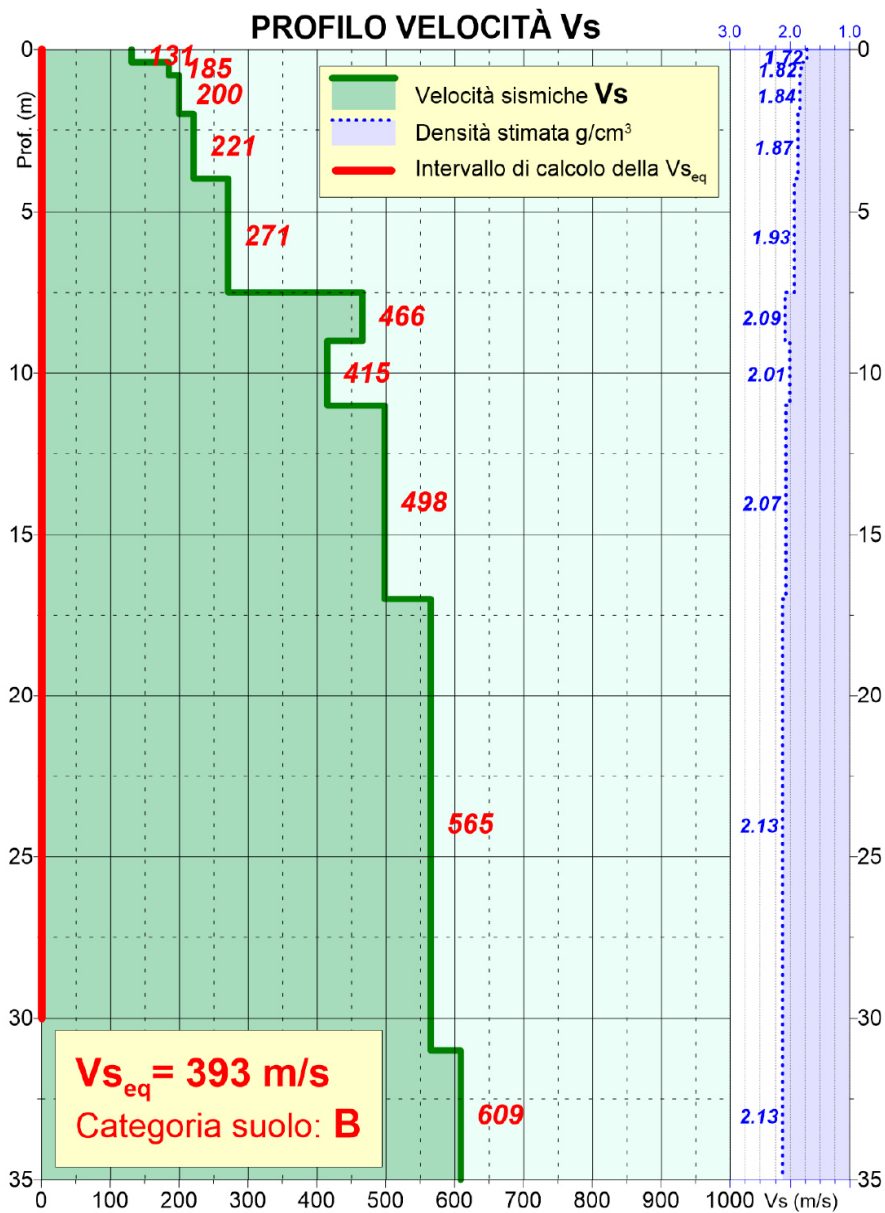
SM-MASW-07



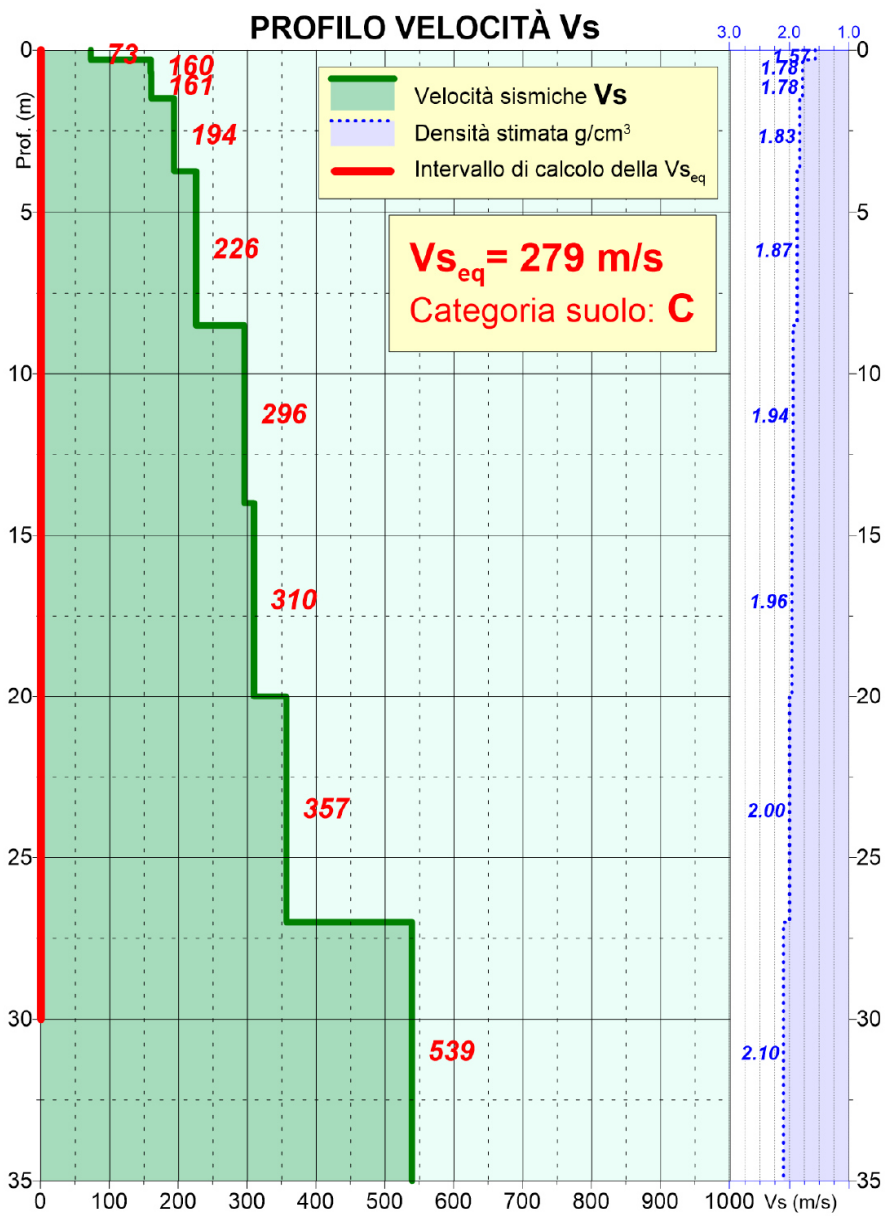
SM-MASW-08



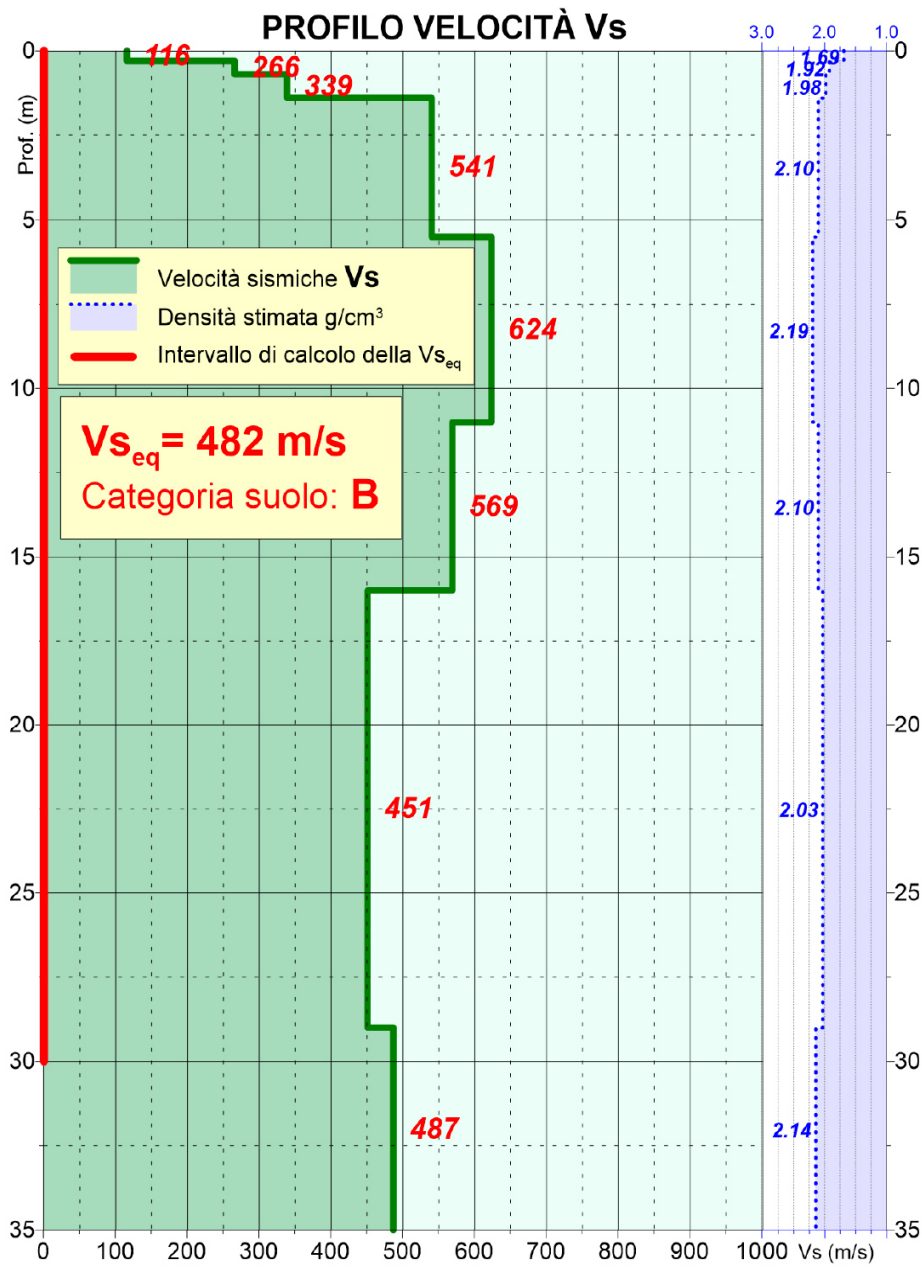
SM-MASW-09



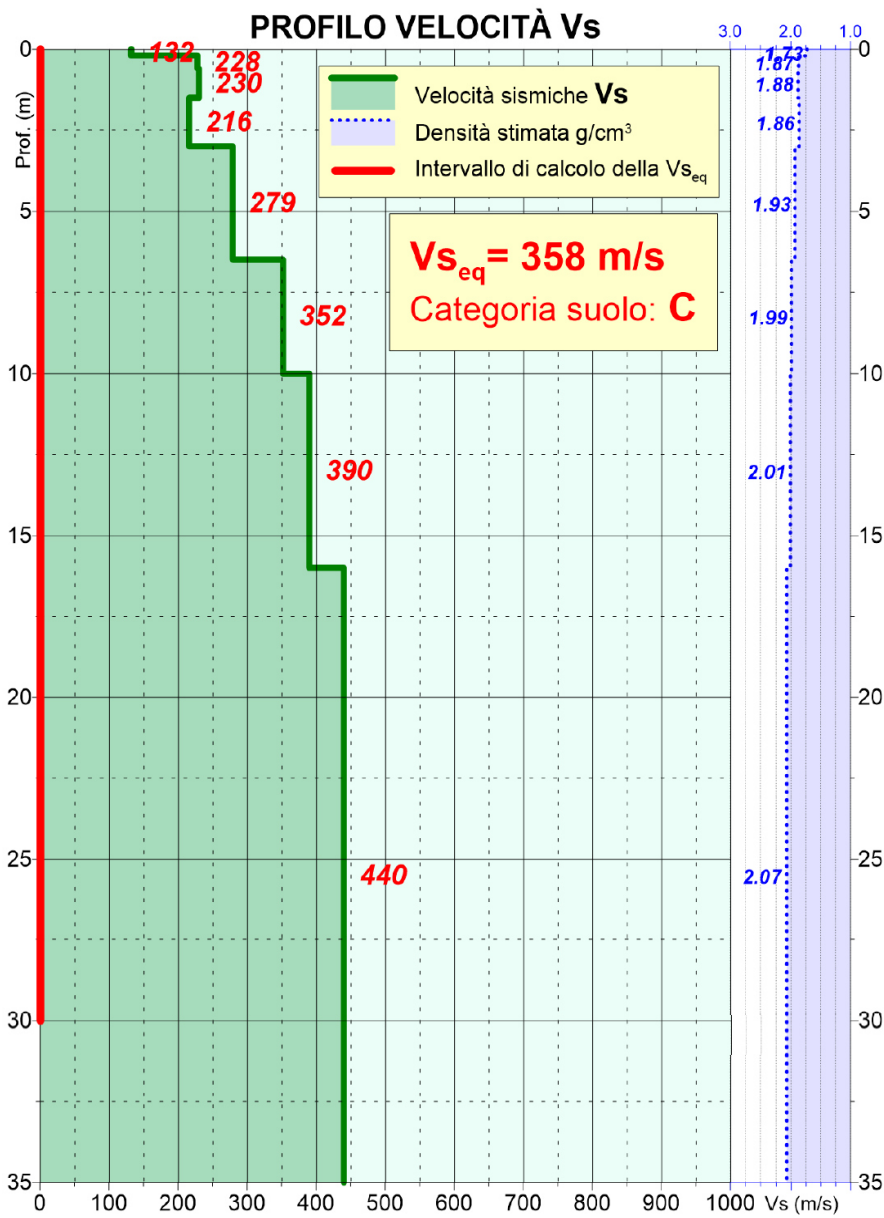
SM-MASW-09b



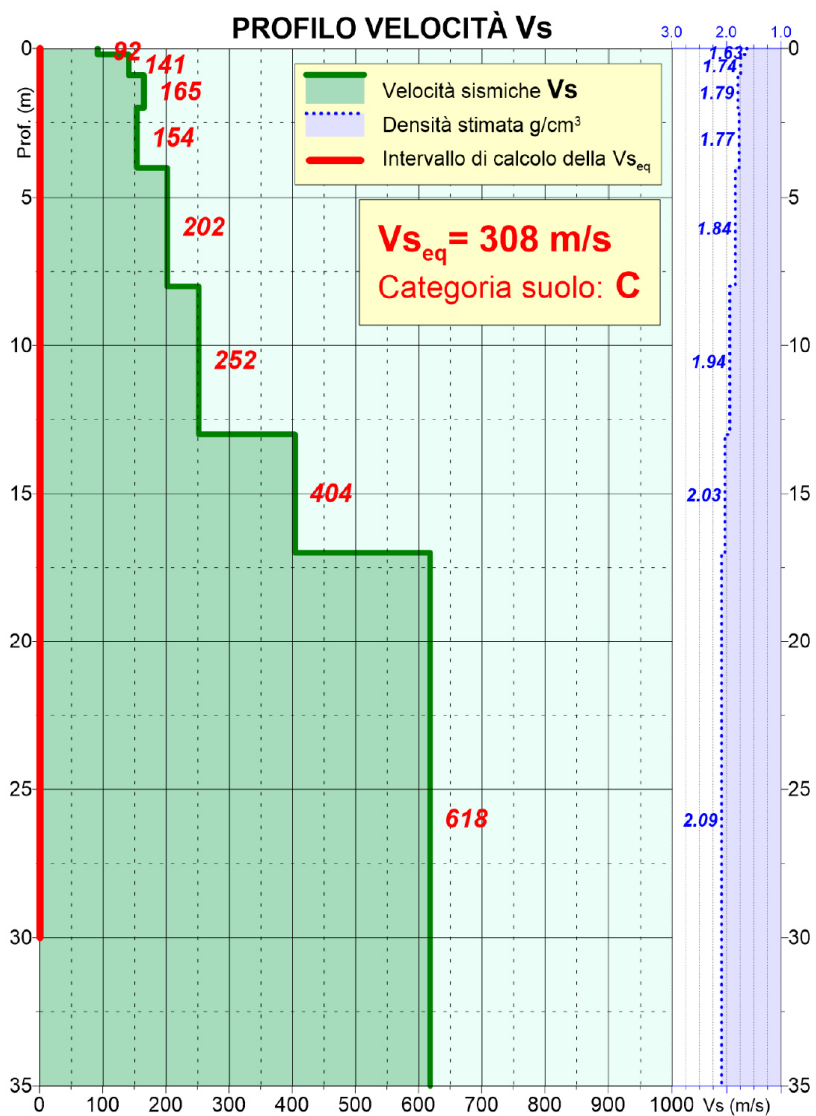
SM-MASW-10



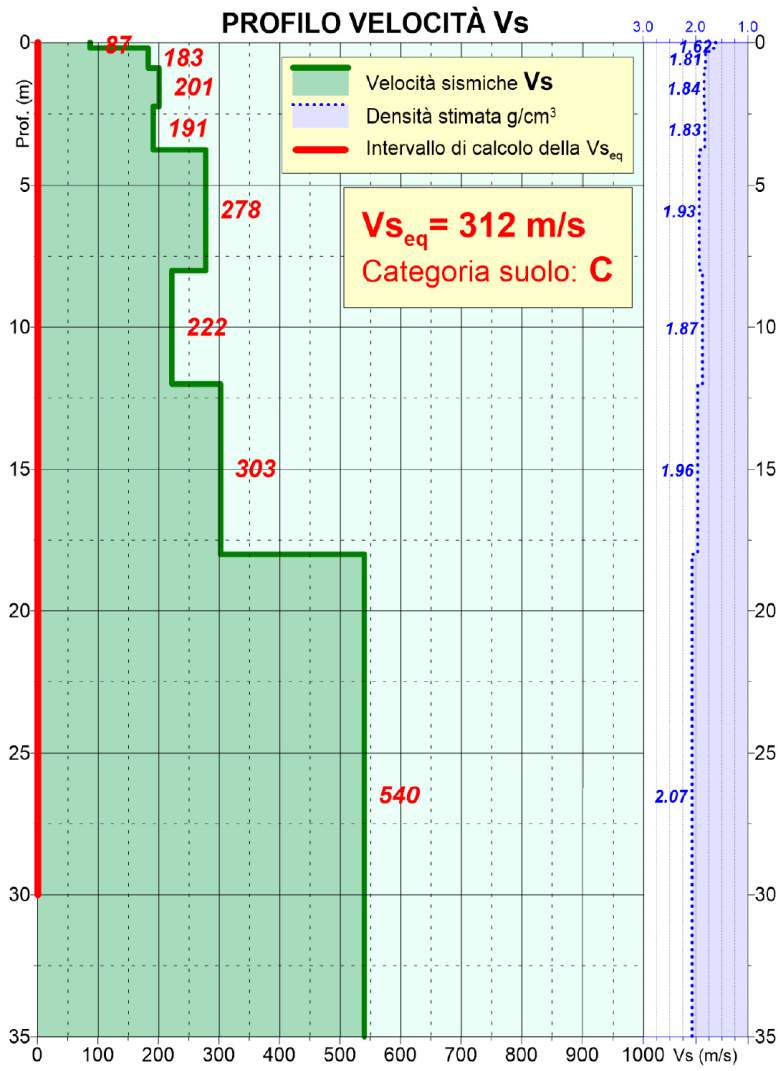
SM-MASW-11



SM-MASW-12



SM-MASW-13

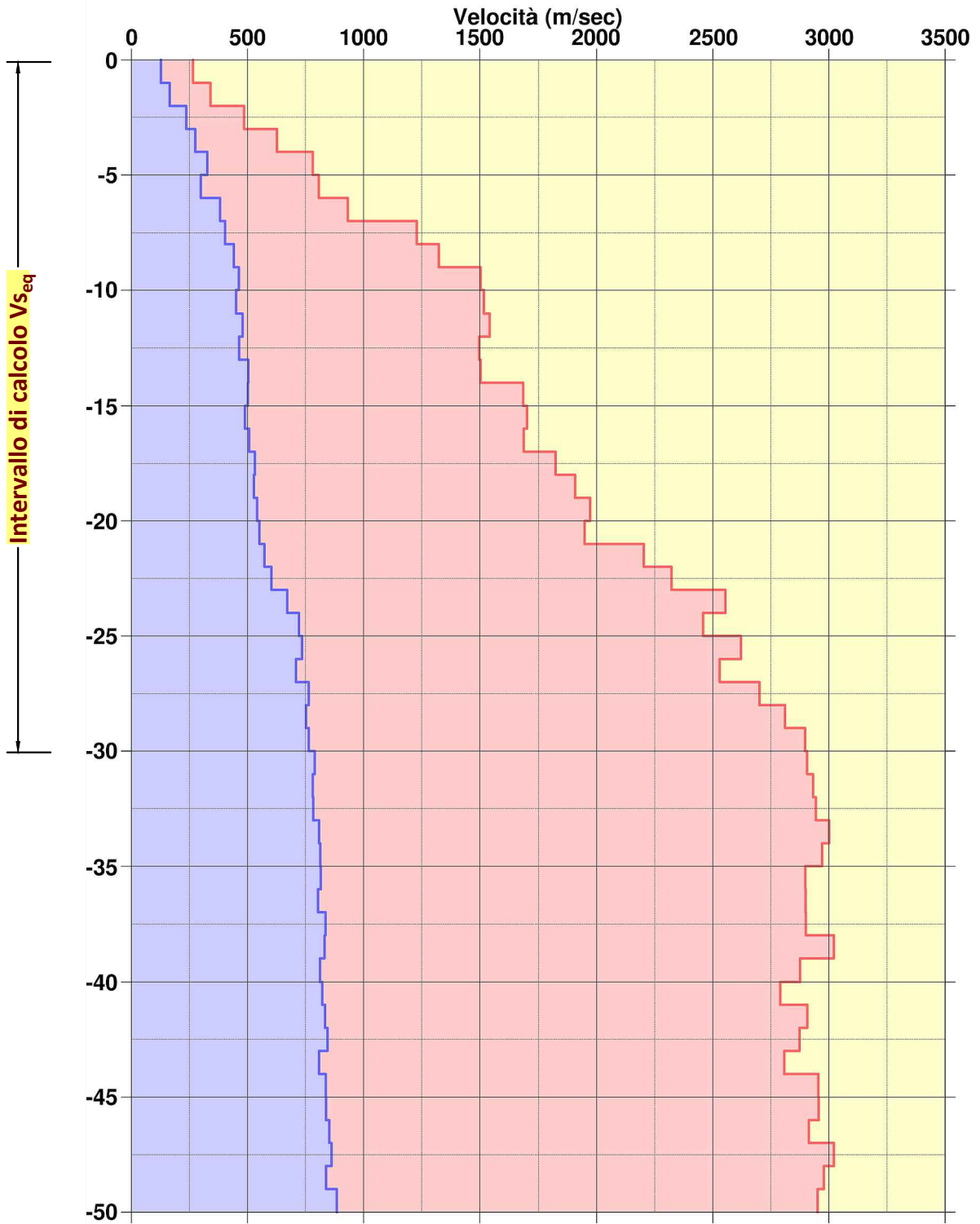


SM-MASW-14

GRAFICO VELOCITÀ

DOWN HOLE

SM
DH-S3

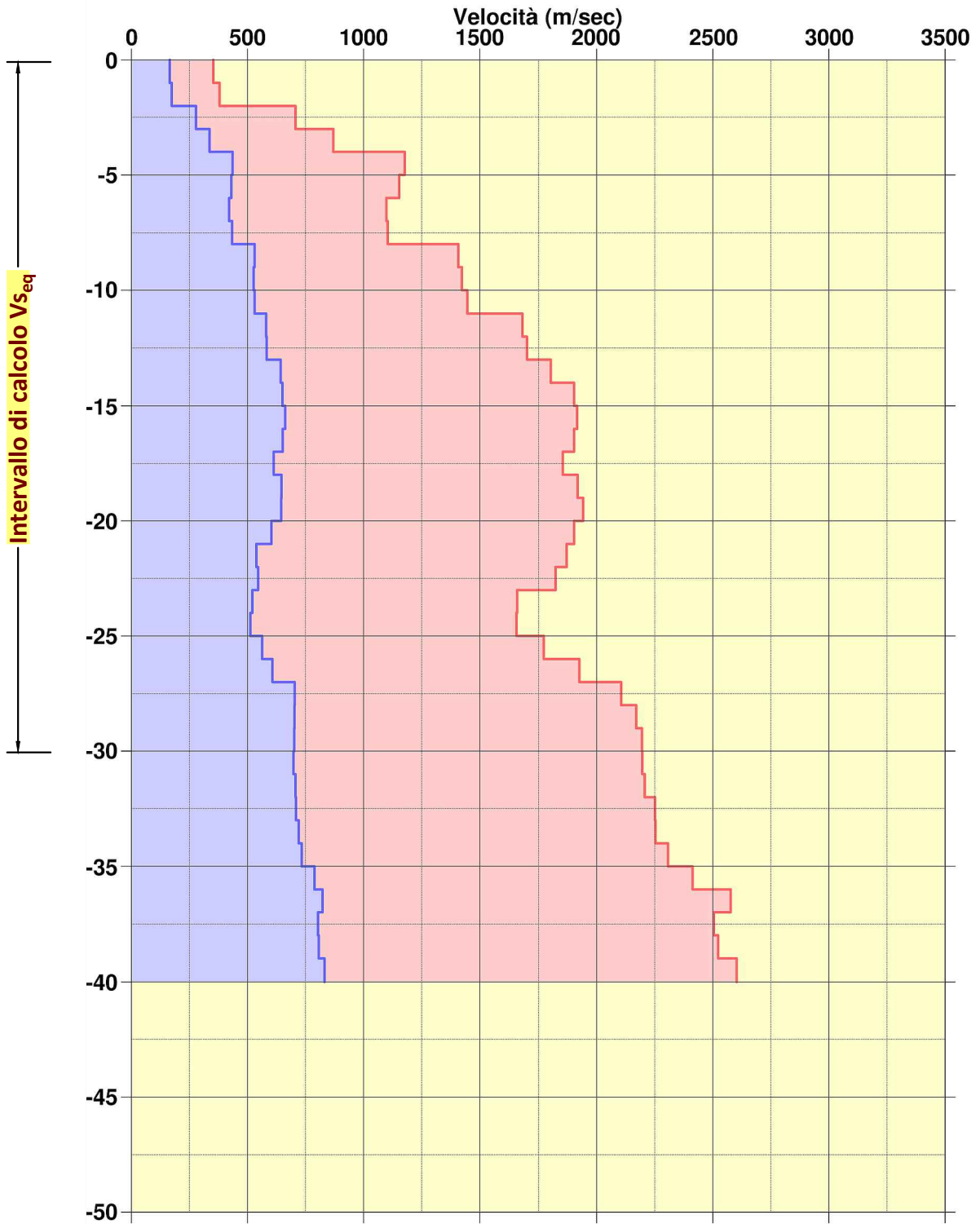


Velocità
Onde VSH



Velocità
Onde VP

$V_{seq} = 413 \text{ m/s}$
calcolata da 0.0 a 30.0 m p.c.
 Classificazione sismica del
 suolo di fondazione:
Categoria B



Velocità
Onde VSH



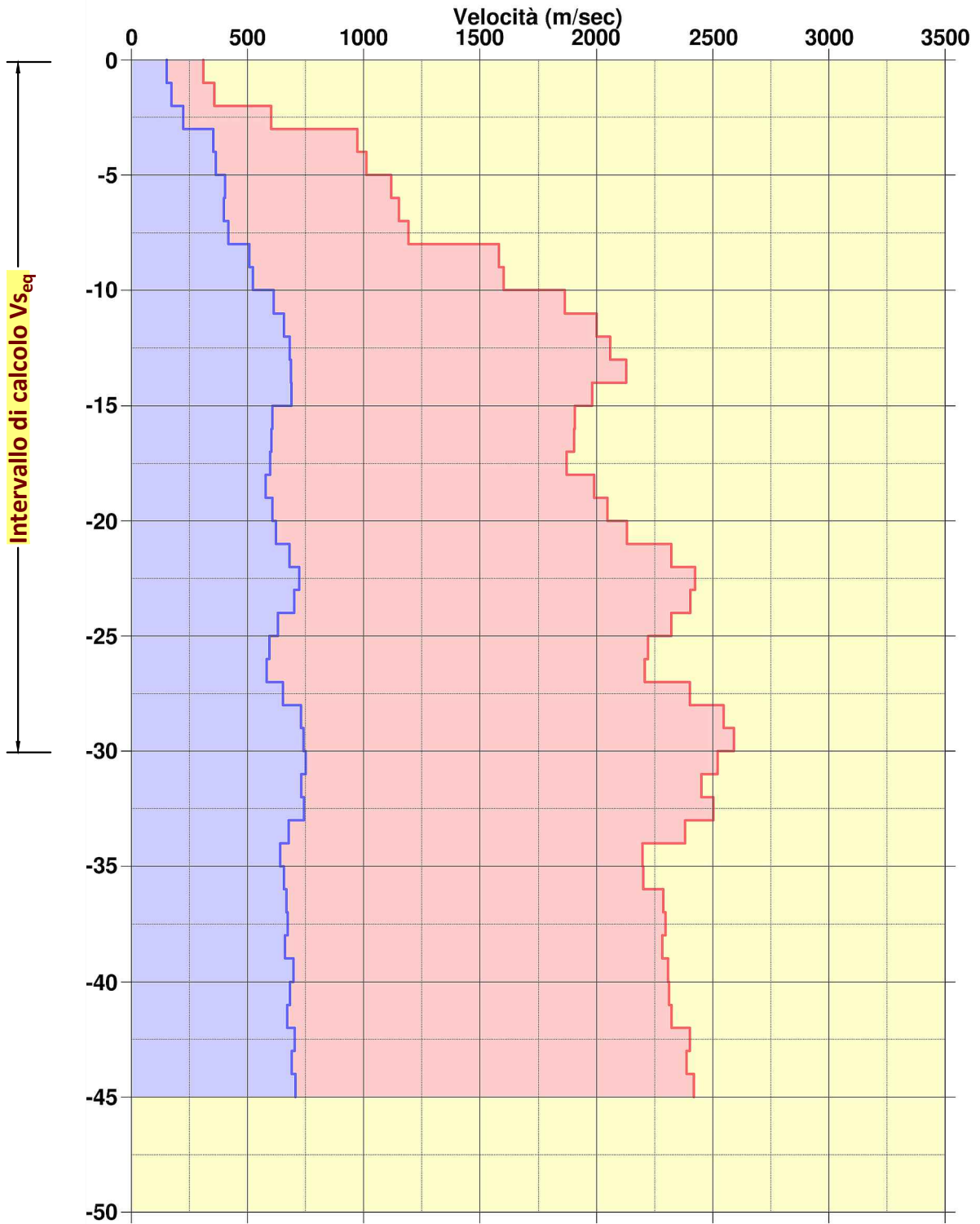
Velocità
Onde VP

$V_{seq} = 465 \text{ m/s}$
calcolata da 0.0 a 30.0 m p.c.
 Classificazione sismica del
 suolo di fondazione:
Categoria B

GRAFICO VELOCITÀ

DOWN HOLE

**SM
DH-S12bis**



Velocità
Onde VSH



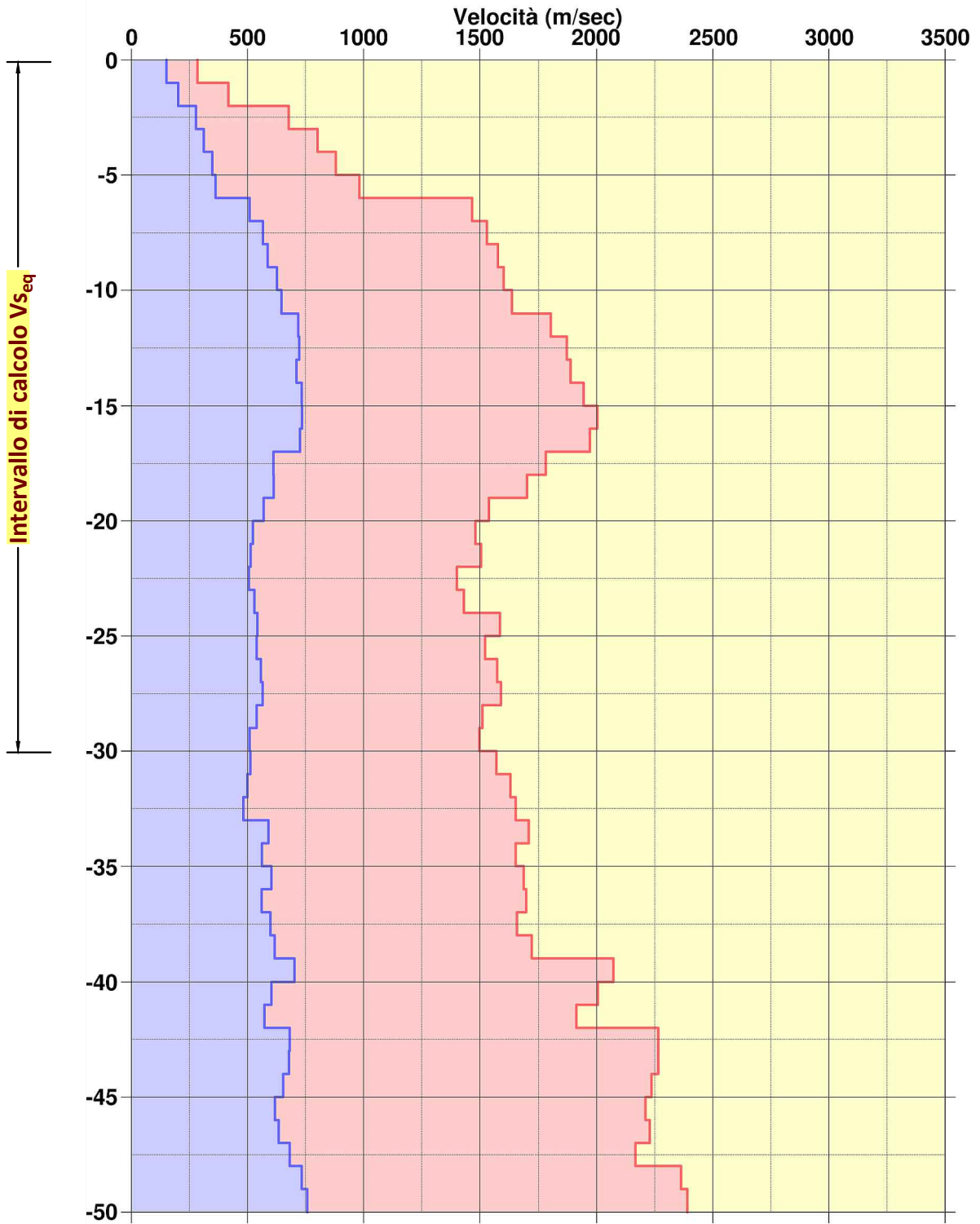
Velocità
Onde VP

$V_{seq} = 464 \text{ m/s}$
calcolata da 0.0 a 30.0 m p.c.
 Classificazione sismica del
 suolo di fondazione:
Categoria B

GRAFICO VELOCITÀ

DOWN HOLE

SM
DH-SV-i-3



Velocità
Onde VSH



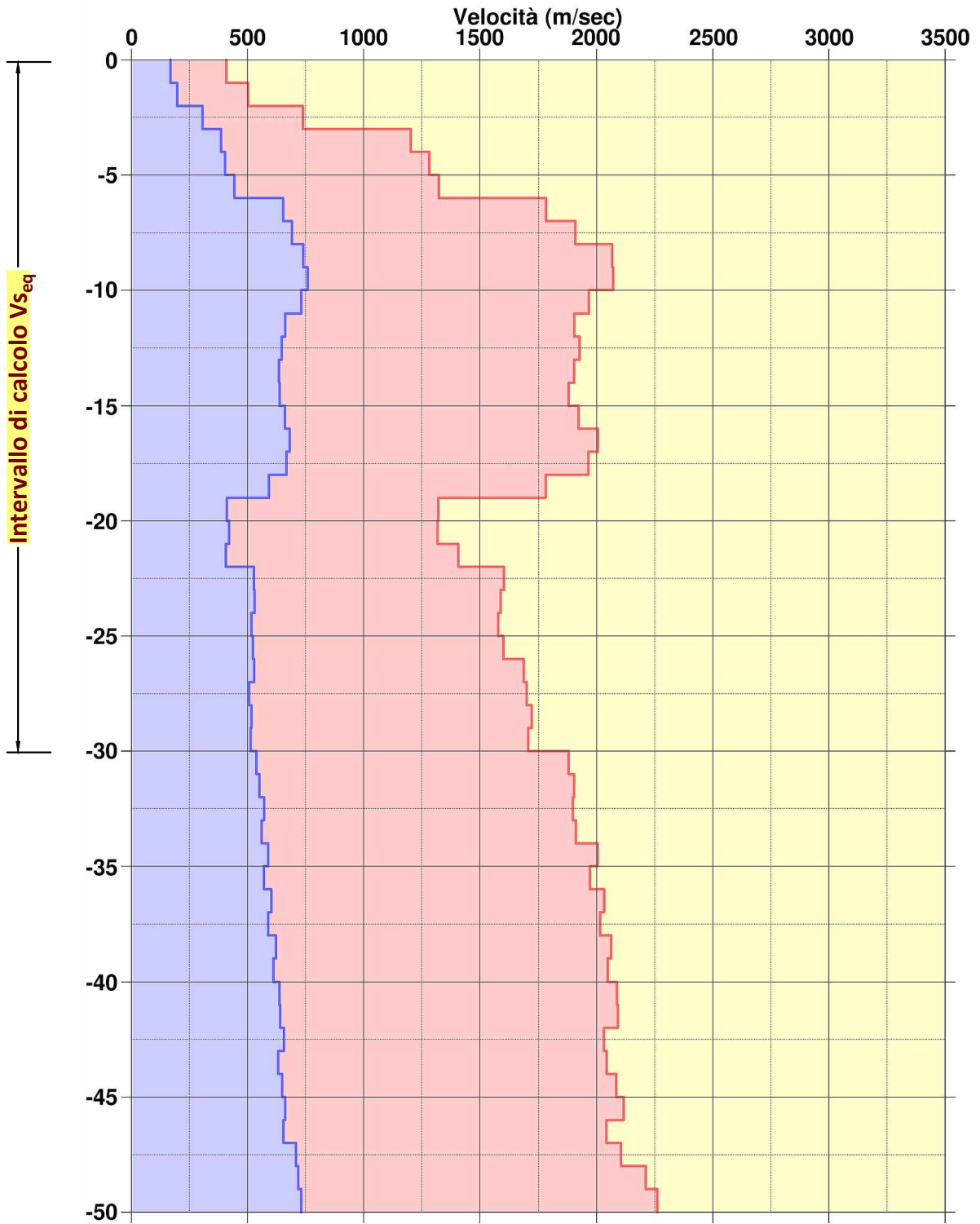
Velocità
Onde VP

$V_{seq} = 464$ m/s
calcolata da 0.0 a 30.0 m p.c.
Classificazione sismica del
suolo di fondazione:
Categoria B

GRAFICO VELOCITÀ

DOWN HOLE

SM
DH-SV-i-4

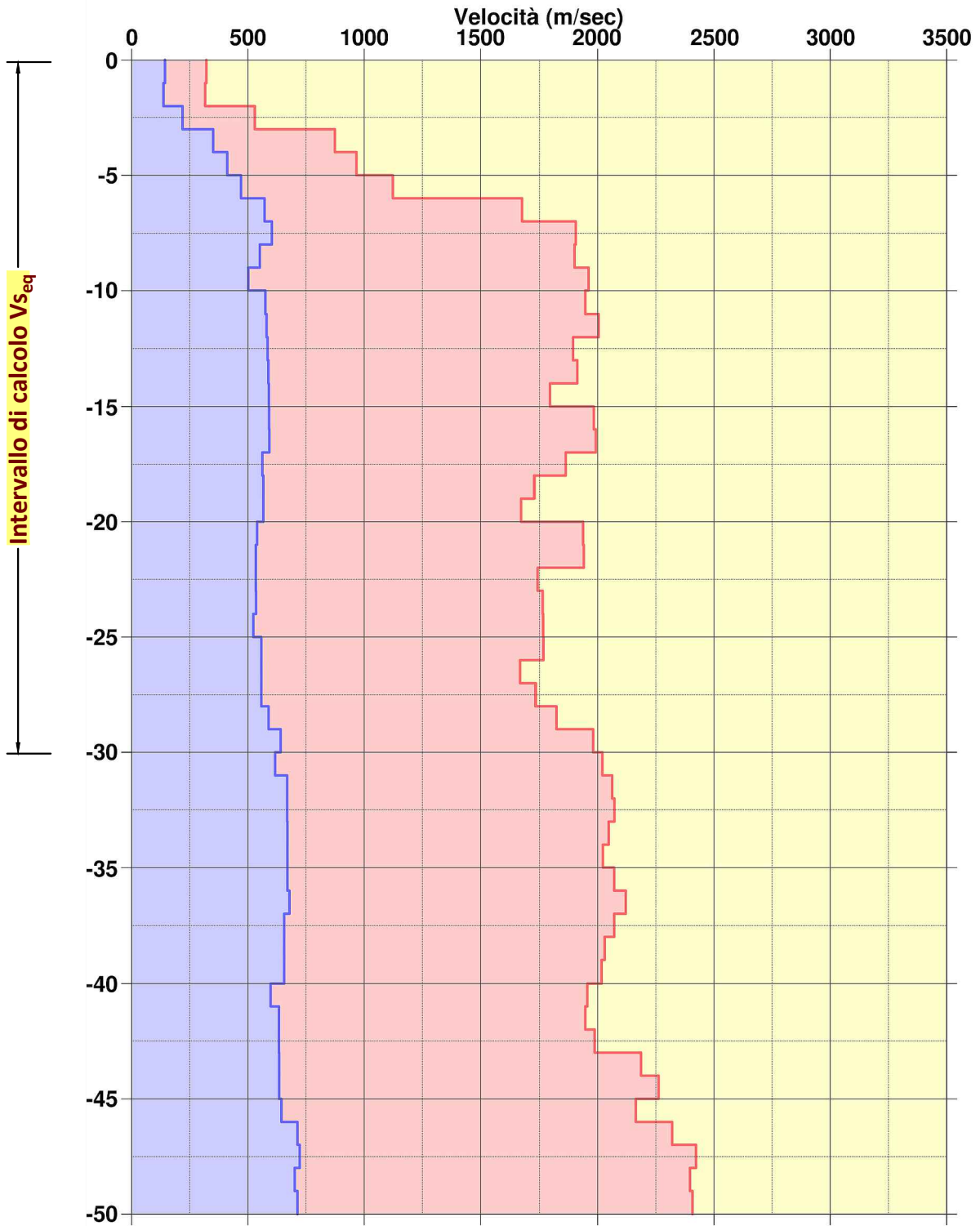


Velocità
Onde VSH



Velocità
Onde VP

$V_{seq} = 472 \text{ m/s}$
calcolata da 0.0 a 30.0 m p.c.
 Classificazione sismica del
 suolo di fondazione:
Categoria B



Velocità
Onde VSH



Velocità
Onde VP

$V_{seq} = 436 \text{ m/s}$
calcolata da 0.0 a 30.0 m p.c.
 Classificazione sismica del
 suolo di fondazione:
Categoria B